



مدیریت آب و آبادی

دوره ۱۲ ■ شماره ۱ ■ بهار ۱۴۰۱

صفحه‌های ۲۰۱-۲۱۱

DOI: 10.22059/jwim.2022.333203.935

مقاله پژوهشی:

ارزیابی معادلات رگرسیونی چندمتغیره در تخمین عملکرد گندم و جو دیم در اقلیم‌های مختلف ایران

سعید شرافی^{*}، ساویز صادقی^۲، محمدمجود نجفی‌نیا^۳، محمد عبدالهی پور^۴

۱. استادیار، گروه علوم و مهندسی محیط زیست، دانشکده کشاورزی و محیط زیست، دانشگاه اراک، ایران.
۲. استادیار، گروه علوم و مهندسی محیط زیست، دانشکده کشاورزی و محیط زیست، دانشگاه اراک، ایران.
۳. استادیار، گروه علوم و مهندسی آب، دانشکده کشاورزی و محیط زیست، دانشگاه اراک، اراک، ایران.
۴. استادیار، گروه مهندسی آب، دانشکدگان ابوریحان، دانشگاه تهران، تهران، ایران.

تاریخ پذیرش مقاله: ۱۴۰۰/۱۰/۱۶ تاریخ دریافت مقاله: ۱۴۰۰/۰۸/۰۸

چکیده

ایران در منطقه‌ای خشک و نیمه خشک قرار دارد و بررسی شرایط کشت دیم گیاهان راهبردی امری بسیار ضروری است. بدین منظور برای مدل‌سازی عملکرد گندم و جو دیم در شرایط آب و هوایی ایران در واکنش به تغییرات اقلیمی داده‌های هواشناسی ۴۴ ایستگاه در یک دوره چهل ساله (۱۹۸۱-۲۰۲۰) مورد بررسی قرار گرفت. داده‌های هواشناسی پس از میان‌یابی مکانی بین ایستگاه‌ها و تبدیل کردن آن‌ها به داده‌های روزانه به عنوان روزدی یک مدل رگرسیون خطی چند متغیره برای تخمین عملکرد گندم و جو دیم به کار گرفته شدند. در این مطالعه ایران به شش اقلیم ساحلی مرطوب، کوهستانی، نیمه کوهستانی، نیمه بیابانی، بیابانی و بیابان ساحلی تقسیم شد. نتایج نشان داد که بیشترین بارندگی سالانه بهترین بارندگی بندارانزلی (۷۴۸ میلی متر در سال) و زابل (۵۵ میلی متر در سال) رخ داد. بیشترین کاهش بارندگی در ایستگاه بندارانزلی (شیب -۵/۸ درصد) و کمترین تغییرات در ایستگاه کرمانشاه با شیب معادله آن (-۰/۰۸ درصد) صورت گرفت. در بین ایستگاه‌های مورد بررسی فقط ۱۱/۳۶ درصد از نظر کشاورزی در شرایط مناسبی قرار دارند و در بقیه ایستگاه‌ها وضعیت بحرانی است (۸۷/۶۴ درصد). نتایج تحقیق نشان داد که ضریب تبیین در عملکرد شیوه‌سازی شده گندم دیم برای اقلیم مرطوب تر به نسبت سایر اقلیم‌ها از دقت بیشتری برخوردار است ($R^2=0.83$). کمترین ضریب تبیین در عملکرد شیوه‌سازی شده گندم دیم ($R^2=0.53$) و جو دیم ($R^2=0.71$) برای اقلیم بیابانی بدست آمد.

کلیدواژه‌ها: اقلیم، خشکسالی، خلاً عملکرد، دیم کاری، ضریب تبیین.

Assessment of multiple regression equations for yield estimation of rain-fed wheat and barley in different Iran's climates

Saeed Sharafi^{1*}, Saviz Sadeghi², Mohammad Javad Nahyinia³, Mohammad Abdolahipour⁴

1. Assistant Professor, Department of Environment Science and Engineering, Faculty of Agriculture and Environment, Arak University, Iran.

2. Assistant Professor, Department of Environment Science and Engineering, Faculty of Agriculture and Environment, Arak University, Iran.

3. Assistant Professor, Department of Water Science and Engineering, Faculty of Agriculture and Environment, Arak University, Iran.

4. Assistant Professor, Department of Water Engineering, College of Aburaihan, University of Tehran, Tehran, Iran.

Received: October 30, 2021

Accepted: January 06, 2022

Abstract

Iran is located in the arid and semi-arid area and it is very necessary to assess the conditions of rainfed farming of strategic plants. In order to assessment of wheat and barley yield under rainfed climatic conditions collected data from 44 stations were studied during the period of 1981-2020 (40 years). Weather data after spatial interpolation between stations and converting to daily values were used as inputs of a multiple regression model for estimating wheat and barley yield. In this study, Iran was divided into six coastal wet, mountain, semi mountain, semi desert, desert and, coastal desert. The results showed that the highest and lowest annual rainfall was observed in stations Bandar Anzali (1748 mm y^{-1}) and Zabol (57.7 mm y^{-1}), respectively. The greatest and lowest decrease in rainfall occurred in Bandar-Anzali station (gradient 5.8 percent) and, in Kermanshah station (gradient -0.8 percent) respectively. Only 11.36 percent of the stations were in good condition and, in other stations were in a critical situation (88.64 percent). The results of this study showed that the coefficient of determination of predicted yield for rainfed wheat in humid climates was more accurate than in other climates ($R^2=0.83$). The lowest coefficient of determination predicted yield was obtained for rain-fed wheat ($R^2=0.71$) and rain-fed barley ($R^2=0.53$) in desert climates.

Keywords: Climate, Coefficient of determination, Drought, Rain-fed farming, Yield gap.

مقدمه

Fischer *et al.*, 2000). از طرفی با معلومبودن تولید واقعی در مناطق تحت بررسی می‌توان خلاً عملکرد را براساس اختلاف بین عملکرد پتانسیل و واقعی برآورد کرده و مورد تجزیه Becker & Johnson, 1999; Abeledo *et al.*, 2008) پژوهش‌های بسیاری در زمینه مقایسه تولید پتانسیل و واقعی برخی محصولات زراعی در کشورهای اتحادیه اروپا صورت گرفته و خلاً عملکرد را برآورد کرده‌اند (Rosenzweig & Parry, 1994; Nassiri *et al.*, 2006; Koocheki *et al.*, 2006; Nicholls, 2000; Hammera *et al.*, 2001; Antle, 1996; Holden & Brereton, 2004). با وجود اهمیت این موضوع، پژوهش‌های انجام‌شده در ایران در ارتباط با پهنه‌بندی و پتانسیل‌یابی محصولات زراعی بسیار محدود بوده و به‌طورعمده بر روش‌های اقلیمی مرکز می‌باشند. بنابر عقیده Soltani *et al.* (2006)، مهم‌ترین کار در این زمینه، کمی‌سازی توان تولید و بررسی دلایل خلاً عملکرد می‌باشد که در این راه می‌توان از مدل‌های شبیه‌سازی نظری مدل‌های رگرسیون چند متغیره استفاده نمود. یعنی در حالی که شرایط محیطی و ارقام مورداستفاده برای دست‌یابی به عملکردهای بالا مساعد هستند، عملکرد کشاورزان به مراتب کمتر است. Sadeghi *et al.* (2002) مناطق دیم استان فارس را براساس شاخص‌های اقلیم‌شناسی کشاورزی (بارندگی و تبخیر و تعرق) بررسی نمودند و Kamkar *et al.* (2006) به‌وسیله یک مدل شبیه‌سازی تولید زیره سبز در مناطق مختلف استان خراسان را ارزیابی کردند. بنابراین از آنجاکه گندم و جو نقش اساسی را در امنیت غذایی کشور به‌طور مستقیم و غیرمستقیم ایفا می‌کنند، پیش‌بینی میزان تولید آن‌ها، زمان کافی را برای مقابله با کمبود فراهم می‌کند. برای پیش‌بینی عملکرد گیاهان

تغییر اقلیم می‌تواند به عنوان عمدۀ ترین چالش بشر در دوره‌های آتی قلمداد شود. ایران به عنوان کشوری خشک و نیمه‌خشک در رأس مشکلات توسعه کشاورزی همواره درگیر کمبود آب بوده و در حال حاضر، بررسی پیامدهای ناشی از عوامل اقلیمی بر نیاز آبی در بخش کشاورزی بسیار مهم است (Sharafi & Ghaleeni, 2021c). غلات مهم‌ترین گیاهان غذایی کره زمین و تأمین‌کننده ۷۰ درصد غذای مردم کره زمین می‌باشدند (Kamali, 2009). به‌طورکلی بیش از سه چهارم انرژی و یک دوم پروتئین موردنیاز بشر از غلات تأمین می‌شود (Imam, 2002). با توجه به این موضوع یکی از مهم‌ترین مباحث تولید محصول با عملکرد بالا است (Zare Feizabadi *et al.*, 2007). تولید گندم و جو، به‌علت نوسانات در عوامل اقلیمی و مدیریتی، تغییرات زیادی دارد (Zare Feizabadi *et al.*, 2007). برآوردها نشان می‌دهد که در مقایسه جهانی برای تأمین نیاز گندم تا سال ۲۰۲۰ میلادی، لازم است تولید این محصول نسبت به سال ۲۰۰۰، به میزان ۴۴ درصد افزایش یابد (Boote & Tollenaar, 1994; Fischer *et al.*, 2000) و افزایش تولید در واحد سطح راه حل اصلی تحقق این هدف می‌باشد. نتایج بررسی انجام‌شده در مورد روند ۵۰ ساله وضعیت تولید غلات در ایران (Zare Feizabadi *et al.*, 2007; Sharafi *et al.*, 2016) نیز نشان داده است که سطح زیر کشت گندم و جو کشور به‌ویژه در طی ۱۰ سال گذشته افزایش اندکی داشته و این افزایش تولید این محصولات به‌طورعمده ناشی از افزایش عملکرد در واحد سطح می‌باشد. بنابراین به‌نظر می‌رسد که در ایران نیز نظر سایر مناطق جهان، تلاش پژوهش‌گران بر ارائه راهکارهایی برای بهبود عملکرد مرکز یافته است. موفقیت در این امر مستلزم آگاهی از عملکرد بالقوه و شناخت عوامل محدودکننده

مدیریت آب و آسیاری

دوره ۱۲ ■ شماره ۱ ■ بهار ۱۴۰۱

(کاهش و یا افزایش) را می‌توان پایدار در نظر گرفت که در طی ۳۰ سال گذشته روندی خطي داشته باشد. برای صحبت‌سنگی داده‌های هواشناسی از آزمون من-کنдал (Man-Kendall) استفاده شد. در این آزمون y_t سری مقادیر سالانه داده‌های موردبررسی است به شرطی که ... N باشد ($N = t = 1, 2, \dots$) تعداد سال‌های آماری است، هر مقدار y_t (به‌طوری‌که $t=1, 2, \dots, N-1$) با کلیه مقادیر بعدی از y_t (به‌طوری‌که $t=t+1, t+2, \dots$) مقایسه شده و سری جدید z_k با مقادیر $+1$ و -1 به‌ترتیب در ازای $y_t < y_{t+1}$ و $y_t = y_{t+1}$ ساخته شد، به‌طوری‌که در آن $k = \frac{(t-1)(2N-t)}{2+(t-t)}$ باشد. آماره من-کنдал (u_c) از رابطه (۱) بدست می‌آید که در آن S مجموع کلیه z_k ها (رابطه ۲)، $V(S)$ پراش S (رابطه ۳) بوده و مقدار m بر حسب این‌که S منفی یا مثبت باشد، به‌ترتیب $+1$ یا -1 خواهد بود.

$$u_c = \frac{S+m}{\sqrt{V(S)}} \quad (1)$$

$$V(S) = \frac{1}{18} \left[N(N-1)(2N-5) - \sum_{i=1}^n e_i(e_i-1)(2e_i+5) \right] \quad (2)$$

$$\bar{R} = \frac{(S_2^2 - S_1^2)}{(N-1)} \quad (3)$$

که در آن n تعداد گروه‌های جفتی و e_i تعداد مشاهدات در آمین گروه می‌باشد. در این روش فرض می‌شود که در ازای $S=0$ ، آماره $u_c=0$ خواهد بود. سپس اگر $\frac{\alpha}{2} - u_1 \geq |u_c|$ ، به‌طوری‌که $\frac{\alpha}{2} - u_1$ چندک $\frac{\alpha}{2} - 1$ از توزیع نرمال استاندارد است، باشد فرض روند نمی‌تواند رد شود. بنابراین به‌منظور محاسبه روند دراز مدت داده‌های هواشناسی نخست متوسط ماهانه داده موردنظر به‌دست آمده و سپس متوسط سالانه نیز از متوسط‌گیری بین داده‌های ماهانه برای هر ایستگاه سینوپتیک محاسبه شد. بدین جهت ابتدا سال‌های آماری در یک ستون و

زراعی، ابتدا باید عوامل تعیین‌کننده اقلیمی مشخص شوند (Torabi et al., 2012). با توجه به قرار گیری بخش اعظم ایران در ناحیه خشک و نیمه‌خشک دنیا مشخص است که از مهم‌ترین عوامل محدودکننده عملکرد گیاهان در این منطقه، آب، درجه حرارت، ساعت آفتابی و سرعت باد است (Torabi et al., 2012; Sharafi et al., 2017). بنابراین در این پژوهش سعی شده است که تأثیر این متغیرها بر عملکرد گندم و جو دیم در ۴۴ ایستگاه هواشناسی در اقلیم‌های مختلف برای یک دوره ۴۰ ساله (۱۹۸۱-۲۰۲۰) با استفاده از مدل رگرسیونی چندمتغیره بررسی و در نهایت معادلات تخمین عملکرد با استفاده از این مدل برای دو گیاه گندم و جو مورد ارزیابی قرار گرفته است.

مواد و روش‌ها

در این مطالعه از دوره آماری حداقل ۴۰ ساله (از ۱۹۸۱ تا ۲۰۲۰ میلادی) برای ۴۴ ایستگاه سینوپتیک ایران، استفاده گردید. شایان ذکر است، این داده‌ها مورد تأیید سازمان هواشناسی کشور بوده و نیاز به بازسازی ندارند. به همین منظور ابتدا داده‌های مناطق موردمطالعه که توسط ایستگاه‌های هواشناسی مختلف اعم از سینوپتیک و کلیماتولوژی گردآوری و بررسی شدند. با توجه به این‌که تعدادی از ایستگاه‌ها اساساً فاقد آمار بوده یا آمار موجود در آن‌ها از نظر طول دوره آماری مناسب نبودند، از مطالعه حذف شده و تنها ایستگاه‌های دارای طول دوره آماری بلندمدت باقی ماند. به‌طور معمول، متغیرهای اقلیمی نوساناتی را در سال‌های مختلف نشان می‌دهند. به عنوان مثال ممکن است طی ۱۰ سال، روند داده‌ها افزایشی بوده و در ۱۰ سال بعد روند نزولی را نشان دهد و به سطح ۲۰ سال قبل برسد. در نتیجه، یک معادله درجه دو می‌تواند Soltani & Sinclair (چنین روندی را توجیه نماید).

نهایت ضرایب مربوط به متغیرهای رابطه رگرسیون چندمتغیره خطی (رابطه ۴) برای هر محصول برآورد شد (Sabziparvar, 2008). همچنین برای ارزیابی عملکرد روش‌های به کار گرفته شده در برآورد داده‌های هواشناسی، به مقایسه مقادیر پیش‌بینی شده با مقادیر اندازه‌گیری شده عملکرد گندم و جو دیم با استفاده از معیارهای ضریب تبیین^۱ (R^2)، میانگین انحراف خطأ^۲ (MBE)، ضریب جرم باقی‌مانده^۳ (CRM) و ضریب کارایی نش^۴ (NS) به ترتیب به شرح رابطه‌های (۵)، (۶)، (۷) و (۸) پرداخته شد (Delbari *et al.*, 2018; Krause *et al.*, 2005)

$$R^2 = \frac{(\sum_{i=1}^n (o_i - \bar{o}) \times \sum_{i=1}^n (P_i - \bar{P}))^2}{(\sum_{i=1}^n (o_i - \bar{o})^2 \times \sum_{i=1}^n (P_i - \bar{P})^2)} \quad (5)$$

$$MBE = (\sum_{i=1}^n (P_i - o_i)) / 2 \quad (6)$$

$$CRM = (\sum_{i=1}^n o_i - \sum_{i=1}^n P_i) / \sum_{i=1}^n o_i \quad (7)$$

$$NS = 1 - \frac{\sum_{i=1}^n (o_i - P_i)^2}{\sum_{i=1}^n (o_i - O)^2} \quad (8)$$

در این روابط O_i : مقادیر مشاهده شده، P_i : مقادیر شبیه‌سازی شده، O : میانگین مقادیر مشاهده شده، P : میانگین مقادیر شبیه‌سازی شده و n : تعداد مشاهدات می‌باشد. مقدار R^2 نشان‌دهنده پراکندگی داده‌ها حول خط رگرسیون است، مقدار MBE و CRM کارایی مدل و گرایش مدل به سمت تخمین بیش از حد یا کمتر از حد را نشان می‌دهند. مقدار منفی CRM نشان‌گر تمایل مدل برای شبیه‌سازی بیش از حد یا کمتر از حد در مقایسه با داده‌های مشاهداتی می‌باشد. مقدار NS نشان‌دهنده دقیق مدل و مقدار آن از منفی تا یک می‌باشد، موقعی که مقدار NS برابر یک باشد نشان‌دهنده این است که مقدار مشاهداتی با مقدار شبیه‌سازی کاملاً برابر و منطبق با یکدیگر هستند. در شرایطی که مقادیر شبیه‌سازی شده و مشاهده شده با هم برابر باشند (بهترین حالت) مقادیر عددی R^2 , MBE و CRM به ترتیب برابر با یک، صفر، صفر و یک خواهند بود (Mohammadi & Chanasyk, 2004).

داده‌های متوسط درجه حرارت سالانه، بارندگی، رطوبت نسبی و تشعشع در ستون مقابله قرار گرفتند، سپس شبیه خط و عرض از مبدأ با روش کمترین مربعات خطأ معین شدند. برای انجام آزمون روند آماره t (معادله $t = \frac{b}{s_b}$) محاسبه شد.

بر همین اساس، تنها به برآورد ضرایب رگرسیون معادله خطی $Y = a + bX$ توسط نرم‌افزار SAS اکتفا شد. در این معادله، X نشان‌دهنده سال، a و b متغیرهای معادله و Y مقدار متغیر اقلیمی می‌باشد. از مشتق این معادله، یعنی b (شبیه یا ضریب زاویه معادله) برای نشان‌دادن کاهشی و یا افزایشی بودن و همچنین سرعت تغییر متغیرها استفاده می‌شود (Sharafi & Karim, 2020; Gholipoor, 2008). بنابراین رگرسیون چند متغیره خطی یک روش آماری است که براساس داده‌های ورودی، داده‌های خروجی را پیش‌بینی می‌کند. در واقع روش رگرسیون خطی، یک فن یادگیری نظارتی است که بهوسیله آن می‌توان تغییرات یک متغیر وابسته را بهوسیله ترکیب خطی از یک یا چند متغیر مستقل مدل کرد. حالت کلی معادله آن به صورت رابطه زیر است (Chow *et al.*, 2011):

$$Y = a_0 + a_1 X_1 + a_2 X_2 + a_3 X_3 + a_n X_n \quad (4)$$

X ها؛ متغیر مستقل، a_0 ، a_1 و ...؛ ضرایب ثابت و Y ؛ متغیر وابسته می‌باشد. در این پژوهش عملکرد سالانه محصول به عنوان متغیر وابسته و میانگین درجه حرارت (S)، میانگین بارندگی (P)، میانگین تشعشع دریافتی (T) و میانگین سرعت باد (W) در طول دوره رشد، به عنوان متغیرهای مستقل در نظر گرفته شدند. پس از آماده‌سازی داده‌ها، برای به دست آوردن رابطه رگرسیون خطی به کمک متغیرهای هواشناسی از نرم‌افزار SPSS-22 استفاده شد، ابتدا نرمال‌بودن داده‌ها و ضریب همبستگی (r) بین عملکرد سالانه محصول و دیگر متغیرهای هواشناسی برای هر ایستگاه به صورت جداگانه بررسی شد و در

نتایج و بحث

کشاورزی ایران مشکلات عدیدهای را در پی داشته باشد (Sharafi & Ghaleini, 2021b).

در مناطق بیابانی ۸۲ میلی‌متر در سال (با شیب -۰/۲) درصد نسبت به دوره مشابه، میانگین بارندگی در مناطق بیابان ساحلی ۱۷۰ میلی‌متر در سال (با شیب -۰/۲۵) درصد)، متوسط بارندگی در مناطق نیمه‌بیابانی ۲۱۶ میلی‌متر در سال (با شیب متوسط ۰/۱ درصد)، در مناطق کوهستانی با میانگین بارندگی ۳۴۰ میلی‌متر در سال (با شیب ۰/۳ درصد)، در مناطق نیمه‌کوهستانی با میانگین ۳۸۵ میلی‌متر در سال (صفر درصد) و در اقلیم ساحلی مرتضوب با میانگین بارندگی ۱۱۶۲ میلی‌متر در سال (با شیب ۰/۴ درصد) مشاهده شد (شکل ۱).

براساس نتایج جدول (۱)، کلیه ایستگاه‌ها دارای روند بوده و در سطح پنج درصد معنی‌دار شدند، ۱۷ ایستگاه دارای روند مثبت (۴۶/۵۲ درصد) افزایش بارندگی و ۲۶ ایستگاه دارای روند منفی (۵۳/۴۸ درصد) بودند. در هر یک از اقلیم‌های بیابان ساحلی و بیابانی چهار ایستگاه دارای روند منفی (۵۷/۱۴ درصد) و سه ایستگاه دارای روند مثبت (۴۲/۸۶ درصد)، در اقلیم نیمه‌بیابانی چهار ایستگاه دارای روند منفی (۳۶/۶ درصد) و هفت ایستگاه دارای روند مثبت (۶۳/۷ درصد)، در اقلیم نیمه‌کوهستانی چهار ایستگاه دارای روند منفی (۶۷ درصد) و دو ایستگاه دارای روند مثبت (۳۳ درصد)، در اقلیم کوهستانی شش ایستگاه دارای روند منفی (۸۵/۷۲ درصد) و فقط یک ایستگاه دارای روند مثبت (۱۴/۲۸ درصد) و در اقلیم ساحلی، چهار ایستگاه دارای روند منفی (۸۰ درصد) و فقط یک ایستگاه دارای روند مثبت (۲۰ درصد) بود.

اغلب ایستگاه‌های اقلیم کوهستانی و ساحلی مرتضوب دارای روند منفی بودند و کاهش بارندگی در طول دوره موردنرسی مشهود بود. بنابراین تغییرات اقلیمی از شمال و شمال‌غرب به سمت جنوب و جنوب‌شرق صورت داشته‌اند و این موضوع می‌تواند در درازمدت برای

براساس آمار هواشناسی، آب مهم‌ترین عامل اقلیمی در کشور محسوب می‌شود که کمبود آن می‌تواند آسیبهای جبران‌ناپذیری به کشاورزی کشور وارد آورد. هم‌چنین براساس مطالعات Sharafi & Ghaleini (2021c) ایران به شش منطقه رطوبتی تقسیم شد که شامل بیابان ساحلی، بیابانی، نیمه‌بیابانی، نیمه‌کوهستانی، کوهستانی و مرتضوب ساحلی بود (شکل ۱). پنج ایستگاه از ایستگاه‌های موردنرسی در اقلیم مرتضوب ساحلی (۱۱/۶۲ درصد)، هفت ایستگاه به‌ترتیب در اقلیم‌های کوهستانی، بیابانی و بیابان ساحلی (۱۶/۲۷ درصد)، شش ایستگاه در اقلیم نیمه‌کوهستانی (۱۳/۹۵ درصد) و ۱۱ ایستگاه در اقلیم نیمه‌بیابانی قرار داشتند (۲۵/۵۸ درصد). بنابراین فقط ۱۱/۶۲ درصد ایستگاه‌های موردنرسی از نظر رطوبت در شرایط مناسبی قرار دارند و در بقیه ایستگاه‌ها وضعیت نیمه‌بحراتی و بحرانی است (۸۸/۳۲ درصد). متوسط بارندگی سالیانه در مناطق شش‌گانه به صورت زیر است.

بیش‌ترین و کم‌ترین بارندگی سالانه به‌ترتیب در ایستگاه‌های بندرانزلی (۱۷۴۸ میلی‌متر در سال) و زابل (۵۵ میلی‌متر در سال) رخ داد. بیش‌ترین کاهش بارندگی در ایستگاه گرگان رخ داده، که این شیب بسیار منفی بوده و بنابراین خسارت‌های جبران‌ناپذیری در ایستگاه‌های مجاور نیز در پی داشته است. هم‌چنین کم‌ترین تغییرات در میزان بارندگی در ایستگاه بوشهر بود که شیب معادله آن ۰/۰۷ درصد بود. نکته قابل توجه وجود تغییرات شدید در نقاط پر باران کشور می‌باشد که در هفت دهه گذشته تغییرات زیادی داشته‌اند، به عبارت دیگر ایستگاه‌های مناطق نیمه‌بیابانی، کوهستانی و نیمه‌کوهستانی و مرتضوب ساحلی بیش‌ترین تأثیر منفی ناشی از کاهش بارندگی را داشته‌اند و این موضوع می‌تواند در درازمدت برای

موردنرسی باشد، بنابراین براساس شاخص یونسکو کشور را به دو منطقه خشک و مرطوب تقسیم کرده که در مناطق خشک متوسط بارندگی ۲۰۶/۶۶ میلی‌متر در سال (با شیب ۰/۶ درصد) و در مناطق مرطوب با متوسط بارندگی ۹۹۷/۷۷ میلی‌متر در سال (با شیب ۰/۹ درصد) گزارش شد (Sharafi & Ghaleini, 2021a).

گرفته، یعنی هر قدر از مناطق شمال و شمال‌غربی به سمت جنوب و جنوب‌شرقی پیش می‌رویم، اقلیم خشک‌تر شده است (شکل ۱) و در نتیجه خسارت‌های بیشتری به این مناطق وارد شده است (جدول ۱). اگر متوسط بارندگی سالیانه کشور براساس کلیه مناطق گزارش شده نمی‌تواند برآیندی بر کل ایستگاه‌های

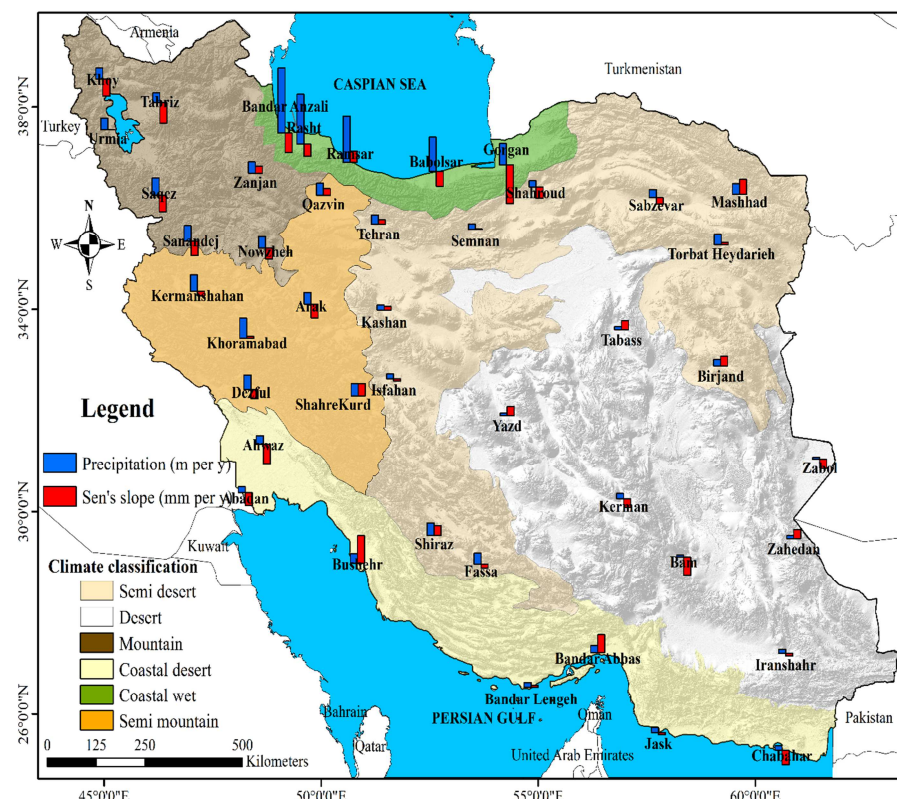


Figure 1. Zoning the amount and slope of rainfall based on the model of geographical division of different climates of Iran (Sharafi & Ghaleini, 2021c)

Table 1. The trend direction and density of precipitation at Iranian synoptic stations ($p \geq 0.05$)

Climate	Trend direction	Number	density
Coastal wet (5)	Positive	1	20
	Negative	4	80
Mountain (7)	Positive	1	14.28
	Negative	6	85.72
Semi mountain (6)	Positive	2	33
	Negative	4	67
Semi desert (11)	Positive	7	67.4
	Negative	4	36.6
Desert (7)	Positive	3	42.86
	Negative	4	57.14
Coastal desert (7)	Positive	3	42.86
	Negative	4	57.14

گندم و جو برای هر اقلیم برآورده شد و با مقادیر مشاهده شده مقایسه و ارزیابی شد (جدول ۲).

با توجه به شکل‌های (۲) و (۳)، به صورت کلی معادله رگرسیون خطی چندمتغیره در برآورد عملکرد محصول در اقلیم‌های مختلف از کارایی بالایی برخوردار است. دقت این روش در اقلیم‌های مرطوب‌تر نسبت به اقلیم‌های خشک‌تر بیشتر است. نکته مهم در این پژوهش تأثیرگذاری بودن بارندگی در عملکرد گیاهان مذکور است. همچنین در مقایسه نتایج دو محصول گندم و جو دیم مشاهده شد که دقت و برازش برآورد عملکرد گندم دیم در همه اقلیم‌ها نسبت به جو دیم بیشتر است، بنابراین می‌توان نتیجه گرفت که کشت گندم دیم ($R^2=0.77$) و (NS=۰/۷۴) به نسبت به جو دیم ($R^2=0.63$) و (NS=۰/۶۲) شرایط بهتری را دارد (ضریب تبیین و ضریب نش در گندم دیم بالاتر است).

ضریب تبیین و ضریب نش در گندم دیم برای اقلیم مرطوب به نسبت سایر اقلیم‌ها از دقت بیشتری برخوردار است ($R^2=0.83$). کمترین ضریب تبیین در گندم دیم (R²=۰/۷۱) و جو دیم (R²=۰/۵۳) برای اقلیم خیلی خشک به دست آمد (شکل‌های ۲ و ۳). همچنین مقادیر MBE و CRM نشان دادند که در تمام اقلیم‌ها روش رگرسیون خطی چندمتغیره تمایل به بیش برآورده دارد.

با درنظر گرفتن مقادیر میانگین درجه حرارت هوا، میانگین تشعشع دریافتی، میانگین بارندگی و میانگین سرعت باد در دوره رشد گیاه به عنوان ورودی، مناسب‌ترین رابطه برای عملکرد هر محصول برای هر اقلیم به دست آمد و در جدول (۲) ارایه شد. با توجه به این‌که کشاورز کشت دیم را زمانی که مطمئن شود که بارندگی رخ می‌دهد انجام داده و معمولاً کشت دیم تناوب یکسال در میان دارد، بنابراین در سال‌هایی که بارندگی کم‌تر از نیاز آبی هر یک از گیاهان گندم و جو دیم بوده، در مدل‌سازی لحاظ نشد. مدلی که ارائه شده با فرض وقوع بارندگی در تاریخ کشت پیشنهادی مدل در هر اقلیم است. بر همین اساس به جز چند سال که بارندگی در زمان مقرر کاشت رخ نداده، از مطالعه حذف شدند. همچنین در این پژوهش از دیدگاه اکولوژیک (محیط‌شناسی) مقادیر میانگین عملکرد در هر اقلیم لحاظ شد که این مقدار، میانگین متوسط عملکرد کلیه ارقام مورد کاشت در هر اقلیم بود. مقادیر a₁, a₂, a₃, a₄ به ترتیب ضرایب میانگین بارندگی، میانگین درجه حرارت هوا، میانگین تشعشع دریافتی و میانگین سرعت باد در دوره رشد گیاه هستند و a₀ ضریب ثابت رابطه عملکرد محصول است. در نهایت پس از به دست آوردن ضرایب رابطه رگرسیون خطی چند متغیره، عملکرد محصول برای

Table 2. MLR equations for yield estimation of rainfed wheat and barley yield in different climates of Iran

Crop	Climate	a ₀	a ₁	a ₂	a ₃	a ₄
Wheat	Coastal wet	3856.1	-1.015	-93.1	0.065	121.6
	Mountain	139.91	0.39	-19.5	0.16	-21
	Semi mountain	145.96	0.47	-20.8	0.28	-18.7
	Semi desert	331.15	-0.253	3.3	0.141	-44.8
	Desert	-663.1	1.21	3.35	0.39	3.89
	Coastal desert	-445.63	1.19	4.56	0.28	4.62
Barley	Coastal wet	559.3	-0.47	-227.8	-0.038	26.36
	Mountain	51.12	0.79	1.5	0.178	-13.9
	Semi mountain	19.1	0.68	1.2	0.188	-14.7
	Semi desert	648.7	-0.11	-1.5	0.064	-34.4
	Desert	-845.3	0.4	12.5	0.39	5.42
	Coastal desert	-651.34	0.38	13.67	0.28	4.44

Multiple regression equations (MLR)

$$Y = a_1 R + a_2 T + a_3 S + a_4 W + a_0$$

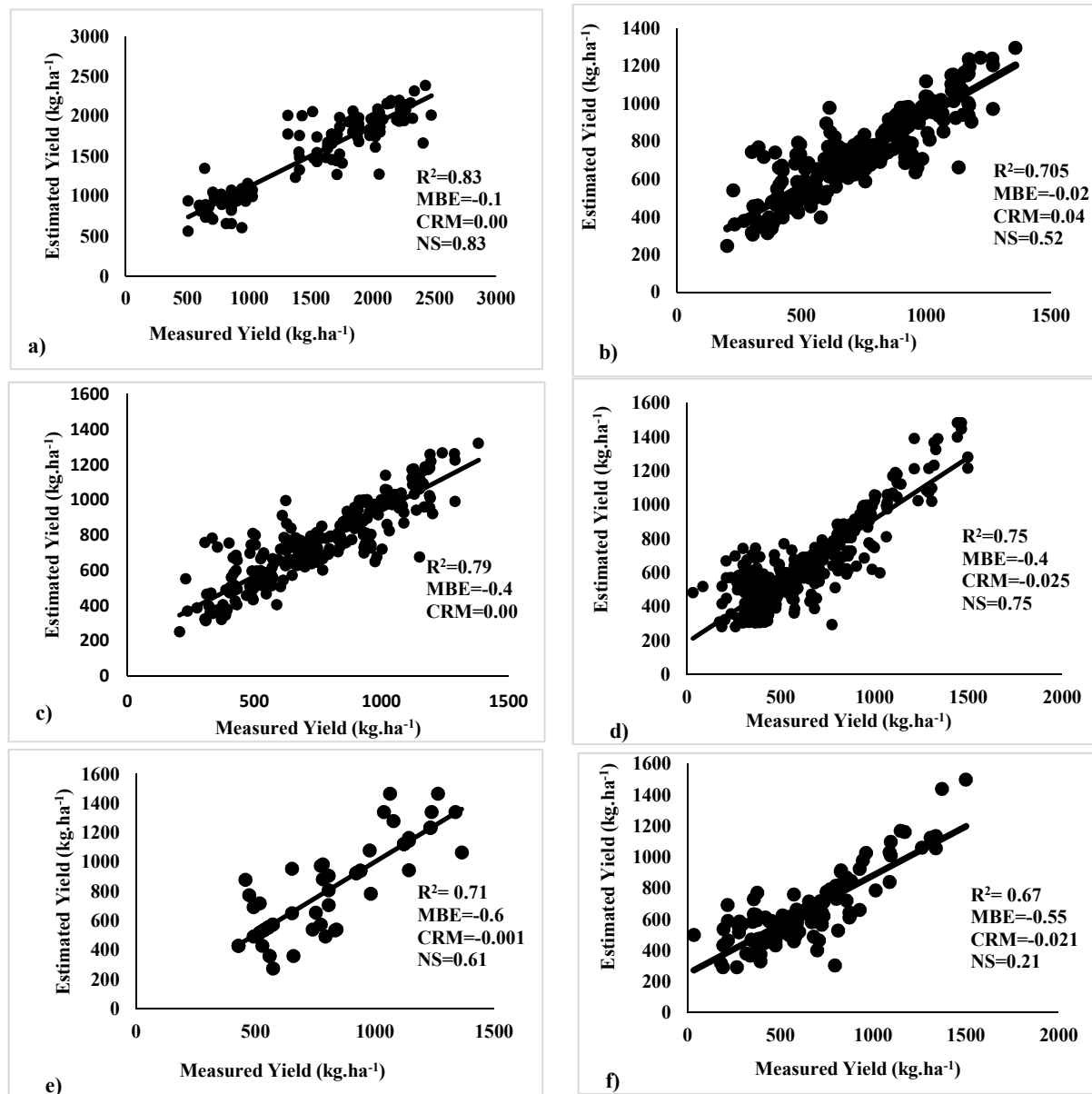


Figure 2. The yield gap trend of rainfed wheat in a) coastal wet, b) mountain, c) semi mountain, d) semi desert, e) desert and f) coastal desert climates of Iran

به گندم دیم تمایل به بیش برآورد کمتری دارد (شکل‌های ۲ و ۳). نتایج نشان می‌دهد که فشار مضاعفی به اراضی دیم وارد شده است. به عبارت دیگر مقادیر عملکرد موجود کمتر از حد توان واقعی گیاه در هر اقلیم است که می‌تواند ناشی از عواملی مانند عدم مدیریت مناسب در عملیات کوددهی و مقابله با علف‌های هرز باشد.

به طوری که نتایج نشان داد که این بیش برآوردها از مناطق مرطوب به مناطق خشک‌تر بیشتر می‌شود و مدل از دقت کمتری برخوردار می‌شود. مقایسه نتایج مقادیر MBE و CRM نشان می‌دهد گندم دیم در اقلیم‌های مرطوب و خشک نسبت به جو دیم تمایل به بیش برآورد کمتری دارد، ولی در اقلیم‌های نیمه‌خشک و خیلی خشک جو دیم نسبت

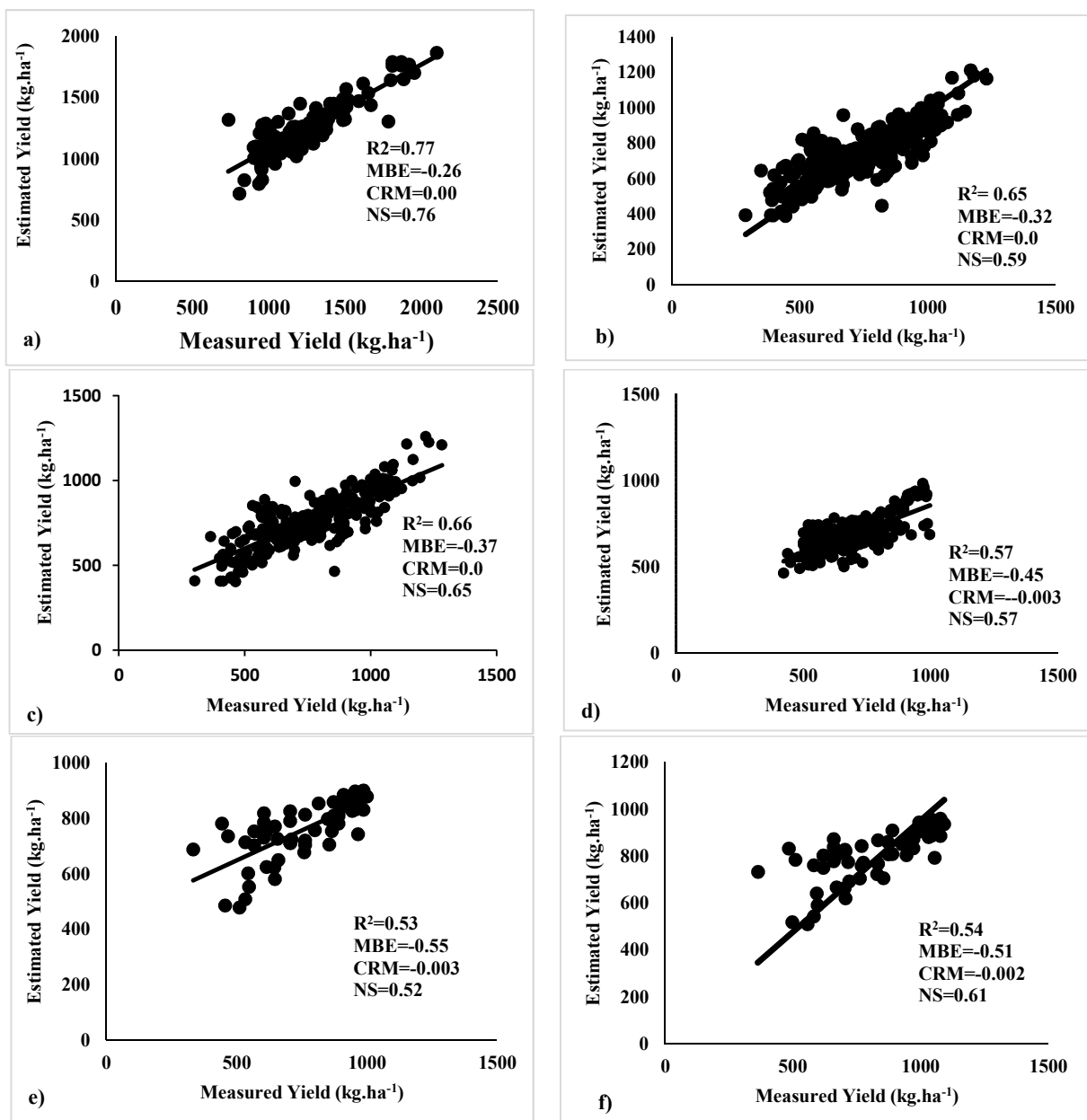


Figure 3. The yield gap trend of rainfed barley in a) coastal wet, b) mountain, c) semi mountain, d) semi desert, e) desert and f) coastal desert climates of Iran

رگرسیون چندمتغیره در تخمین عملکرد گیاهان گندم و جو دیم با استفاده از متغیرهای اقلیمی در ۴۴ ایستگاه هواشناسی در اقلیم‌های مختلف برای یک دوره ۴۰ ساله (۱۹۸۱-۲۰۲۰) مورد ارزیابی قرار گرفت. در این پژوهش پراکنده‌گی بارش‌ها در مناطق مختلف نشان از وجود اقلیم‌های متنوع در کشور

نتیجه‌گیری

از آنجایی که کشاورزی یک فعالیت مرتبط با اقلیم بوده و براساس اطلاعات هواشناسی سال‌های گذشته وقوع خشکسالی در دوره رشد گیاهان زراعی به ویژه در دیم‌کاری به امری اجتناب‌ناپذیر است. در این مطالعه، مدل‌های

پی‌نوشت‌ها

1. Coefficient of determination
2. Mean Bias Error
3. Coefficient of Residual Mass
4. Nash-Sutcliffe efficiency coefficient
5. Over estimate

تعارض منافع

هیچ‌گونه تعارض منافع توسط نویسنده‌گان وجود ندارد.

منابع

1. Abeledo, L. G. Savin, R., & Slafer, G. A. (2008). Wheat productivity in the Mediterranean Ebro Valley: Analyzing the gap between attainable and potential yield with a simulation model. *European Journal of Agronomy*, 28, 541-550.
2. Antle, J. M. (1996). Meteorological issues in assessing potential impacts of climate change on agriculture. *Agricultural and Forest Meteorology*, 80, 67-85.
3. Becker, M., & Johnson, D. E. (1999). Rice yield and productivity gaps in irrigated systems of the forest zone of CoAte d'Ivoire. *Field Crops Research*, 60, 201-208.
4. Boote, K. J., & Tollenaar, M. (1994). Modeling yield potential. In: Boote, K. J., Bennett, J. M., Sinclair, T. R., Paulsen, G. M. (Eds.), *Physiology and Determination of Crop Yield*. American Society of Agronomy, Madison, WI, USA.
5. Chanasyk, D. S., Mapfumo, E., Willms, W. D., & Naeth, M. A. (2004). Quantification and simulation of soil water on grazed fescue watersheds. *Journal of Range Management*, 57(2), 169-177.
6. Chow, T. T., Long, H., Mok, H. Y., & Li, K. W. (2011). Estimation of soil temperature profile in hong kong from climatic variables. *Energy and Building Journal*, 43, 3568-3575.
7. Delbari, M., Sharifzari, S., & Mohammadi, E. (2108). Modeling daily soil temperature over diverse climate conditions in Iran-a comparison of multiple linear regression and support vector regression techniques. *Theoretical and Applied Climatology*, 131, 1-11.
8. Fischer, G., Van Velthuizen, H., & Nachtergael, F. (2000). *Global Agroecological zones assessment: Methodology and results*. Interim Report IR-00-064. IIASA, Vienna and FAO, Rome.

دارد، به طوری که ۴۶/۵۲ درصد ایستگاه‌ها دارای روند مثبت در افزایش بارندگی و ۵۳/۴۸ درصد ایستگاه دارای روند منفی در کاهش بارندگی بودند. در هر یک از اقلیم‌های بیابان ساحلی و بیابانی چهار ایستگاه دارای روند منفی و سه ایستگاه دارای روند مثبت، در اقلیم نیمه‌بیابانی چهار ایستگاه دارای روند منفی و هفت ایستگاه دارای روند مثبت، در اقلیم نیمه‌کوهستانی چهار ایستگاه دارای روند منفی و دو ایستگاه دارای روند مثبت، در اقلیم کوهستانی شش ایستگاه دارای روند منفی و فقط یک ایستگاه دارای روند مثبت و در اقلیم ساحلی چهار ایستگاه دارای روند منفی و فقط یک ایستگاه دارای روند مثبت بود. براساس نتایج این پژوهش بیشترین مقدار کاهش بارندگی خسارت‌هایی به اقلیم‌های مرطوب و کوهستانی وارد شده است. نتایج این پژوهش نشان داد که دقت مدل‌های رگرسیونی در اقلیم‌های مرطوب‌تر نسبت به اقلیم‌های خشک‌تر بیش‌تر است. نکته مهم در این پژوهش تأثیرگذاری بارندگی در عملکرد گندم و جو دید بود. هم‌چنین، در مقایسه نتایج مدل‌های رگرسیونی برای دو محصول مذکور مشاهده شد که دقت و برازش مدل‌های رگرسیونی (ضریب تبیین و ضریب نش) در تخمین عملکرد گندم ($R^2=0.77$) و ($NS=0.74$) نسبت به جو دید. هم‌چنین مقادیر MBE و CRM نشان دادند که در تمام اقلیم‌ها مدل‌های رگرسیون خطی چندمتغیره تمایل به بیش‌برآورد دارند. نتایج این پژوهش نشان داد که مدل‌های رگرسیون چندمتغیره کارایی مناسبی در پیش‌بینی عملکرد گندم و جو دید در مناطق اقلیمی مختلف داشته و قادر به شناسایی خلاً عملکرد در مناطق مختلف اقلیمی کشور و کاهش خسارت‌های ناشی از خشکسالی بوده و با استفاده از این مدل‌های رگرسیونی ارائه شده می‌توان راهکارهایی به منظور سازگاری این گیاهان نسبت به تغییرات اقلیمی آینده در مناطق اقلیمی مختلف ارائه نمود.

مدیریت آب و آسیاری

دوره ۱۲ ■ شماره ۱ ■ بهار ۱۴۰۱

9. Gholipoor, M. (2008). Quantifying threshold frost hardiness for overwintering survival of wheat in Iran, using simulation. *International Journal of Plant Production*, 2, 125-136.
10. Hammera, G. L., Hansenb, J. W., Phillipsb, J. G., Mjeldec, J. W., Hillc, H., Lovec, A., & Potgietera, A. (2001). Advances in application of climate prediction in Agriculture. *Agricultural Systems*, 70, 515-553.
11. Holden, N. M., & Brereton, A. J. (2004). Definition of agroclimatic regions in Ireland using hydro-thermal and crop yield data. *Agricultural and Forest Meteorology*, 122, 175-191.
12. Imam, Y. (2002). *Cereal farming*. Shiraz University. Shiraz, Iran. (In Persian).
13. Johnson, D. E. (1998). *Applied multivariate methods for data analysts*. Duxbury Press.
14. Kamali, M. R. (2009). World situation of Wheat in the past, present and future. *10th congress of agronomy and modification of plants*, Karaj, Iran. 23-45. (In Persian with English Abstract).
15. Kamkar, B., Koocheki, A., Nassiri, A., & Rezvani Moghadam, P. (2006). Analysis of yield gap of Cumin in 9 regions of Great Khorasan by modeling approach. *Agronomy Researches*, 5, 332-342. (In Persian with English Abstract).
16. Koocheki, A., Nassiri, M., Kamali, G., & Shahandeh, G. (2006). Potential impacts of climate change on agro-climatic indicators in Iran. *Arid Land Research and Management*, 20, 1-15.
17. Krause, P., Boyle, D. P., & Base, F. (2005). Comparison of different efficiency criteria for hydrological model assessment. *Advances in Geosciences*, 5, 89-97.
18. Mohammadi, E., & Delbari, M. (2015). Simulation of Water and Salt Transport in Soil Using the HYDRUS-1D Software. *Water and Soil Science*, 25(1), 67-78. (In Persian with English Abstract).
19. Nassiri, M., Koocheki, A., Kamali, G. & Shahandeh, G. (2006). Impacts of climatic change on rainfed wheat production in Iran. *Archives in Agronomy and Soil Science*, 25(1), 113-124.
20. Nicholls, N. (2000). *Impediments to the use of climate predictions*. In: Hammer, G.L., N. Nicholls, C. Mitchell. (Eds.). Applications of Seasonal Climate Forecasting in Agricultural and Natural Ecosystems: The Australian Experience. Kluwer, Dordrecht, the Netherlands.
21. Rosenzweig, C., & Parry, M. L. (1994). Potential Impact of Climate Change on World Food Supply. *Nature*, 367, 133-138.
22. Sabziparvar, A. (2008). A Simple Formula for Estimating Global Solar Radiation in Central Arid Deserts of Iran, *Journal of Renewable Energy*, 33(5), 1002-1010.
23. Sadeghi, A. R., Kamgar-Haghghi, A. A., Sepaskhah, A. R., Khalili, D., & Zand-Parsa, S. (2002). Regional classification for dryland agriculture in southern Iran. *Journal of Arid Environments*, 50, 333-341.
24. Sharifi, S., & Ghaleini, M. M. (2021a). Calibration of empirical equations for estimating reference evapotranspiration in different climates of Iran. *Theoretical and Applied Climatology*, 1453, 1-15.
25. Sharifi, S., & Ghaleini, M. M. (2021b). Evaluation of multivariate linear regression for reference evapotranspiration modeling in different climates of Iran. *Theoretical and Applied Climatology*, 143(3), 1409-1423.
26. Sharifi, S., & Ghaleini, M. M. (2021c). Spatial assessment of drought features over different climates and seasons across Iran. *Theoretical and Applied Climatology*, 145(4), 1-17.
27. Sharifi, S., & Karim, N. M. (2020). Investigating trend changes of annual mean temperature and precipitation in Iran. *Arabian Journal of Geosciences*, 13(16), 1-11.
28. Sharifi, S., Ramroudi, M., Nassiri, M., Galavi, M., & Kamali, G. A. (2017). Assessment of moisture status and crop production in different climates of Iran. *Journal of Agriculture Knowledge and Sustainable Production*, 7(1), 103-120. (In Persian with English Abstract).
29. Sharifi, S., Ramroudi, M., Nassiri, M., Galavi, M., & Kamali, G. A. (2016). Role of Early Warning Systems for Sustainable Agriculture in Iran. *Arabian Journal of Geoscience*, 9, 734-754.
30. Soltani, A., & Sinclair, T. R. (2012). *Modeling Physiology of Crop Development, Growth and Yield*. CABI publication.
31. Soltani, A., Robertson, M. J., Mohammad Nejad, Y., & Rahemi Karizaki, A. (2006). Modeling chickpea growth and development: Leaf production and senescence. *Field Crops Research*, 99, 14-23.
32. Torabi, B., Soltani, A., Galeshi, S., & Zeinali, A. (2012). The analysis of limited factors for wheat yield in Gorgan conditions. *Journal of Crop Production*, 4(4), 1-17. (In Persian with English Abstract).
33. Zare Feizabadi, A., Koocheki, A. R., & Nassiri, M. (2007). Investigation of plantation area, yield and cereal production in Iran and forecasting of the future. *Journal of Agronomy Researches*, 4(1), 42-69. (In Persian with English Abstract).